

Desenvolvimento de um Algoritmo IP CORDIC Universal nas Arquiteturas Serial e Paralela

Igor Azevedo Cintra; Guilherme Pires Piedade; Luiz Ricardo Pires; Natanael Irland de Souza;
Rafael da Silva Macêdo; Marcelo Pelagio Pontes Moraes; Cícero Luiz Alves Cunha; Letícia Carneiro de Souza

Resumo—Neste artigo, é apresentado um estudo teórico dos fundamentos do algoritmo CORDIC (COrdinate Rotation DIgital Computer) que foram necessários e suficientes para o desenvolvimento de um algoritmo CORDIC universal. Este algoritmo foi implementado nas arquiteturas serial e paralela. Os recursos utilizados foram a linguagem de descrição de hardware Verilog e o Python. A análise de simulação foi realizada em Python, e a implementação e verificação foram realizadas em Verilog. O algoritmo desenvolvido contribuirá fortemente em diversas aplicações futuras, tais como, sistemas de telecomunicações, robótica e energia que exigem requisitos de operação em tempo real e precisão.

Palavras-Chave—CORDIC, pseudorotações, Arquitetura serial, Arquitetura paralela

I. INTRODUÇÃO

As funções trigonométricas e hiperbólicas são amplamente utilizadas em computação científica, energia, robótica, biomédica, telecomunicações, processamento de imagens e redes neurais, entre outras [1]. Com o rápido desenvolvimento dessas áreas, requisitos de velocidade e precisão foram impostos para o cálculo dessas funções matemáticas, e, ao mesmo tempo, o consumo de recursos lógicos de hardware precisa ser controlado. No entanto, sua desvantagem é a velocidade de convergência: geralmente, uma rodada de iteração pode aumentar apenas um dígito efetivo, e mais ciclos de clock são necessários para que o resultado atinja a precisão exigida. O algoritmo básico do CORDIC (COrdinate Rotation DIgital Computer) é uma técnica iterativa eficiente para computar rotações vetoriais e funções matemáticas elementares (soma, multiplicação, divisão, raiz quadrada, funções trigonométricas, logaritmos e hiperbólicas) [2][3]. Os cálculos deste algoritmo podem ser realizados por uma sequência de somas e deslocamentos de bit. Portanto, o CORDIC é bastante útil em projetos de sistemas embarcados que precisam de resposta em tempo real e uma precisão satisfatória.

Com base nisso, neste artigo propõe-se realizar um estudo teórico do algoritmo CORDIC genérico e analisar alguns resultados obtidos durante o desenvolvimento de um algoritmo CORDIC universal, implementado nas arquiteturas serial e paralela. A organização deste artigo é descrita a seguir. Na seção II, são apresentados os fundamentos do algoritmo CORDIC, tipos de operação e modelamento das funções e suas limitações. Na seção III, é realizada uma breve descrição do desenvolvimento do algoritmo CORDIC universal, tais como, quantidade de iterações, tipo de dados de entrada e saída, ordem de grandeza do erro e equações generalizadas utilizadas. Na seção IV, são analisados alguns resultados da implementação do algoritmo em Verilog. Na seção V, são apresentadas algumas conclusões e sugerido um trabalho futuro.

II. FUNDAMENTOS DO ALGORITMO CORDIC

A base do algoritmo CORDIC é a teoria das transformações lineares. O algoritmo consiste na realização de sucessivas pseudorotações trigonométricas circulares, hiperbólicas e lineares.

A. Pseudorotações Trigonômétricas

A Fig. 1 mostra o processo de rotação de um vetor v_0 de um ângulo θ a fim de obter-se o vetor final v_R . Da Fig. 1, obtêm-se:

$$\begin{pmatrix} x_R \\ y_R \end{pmatrix} = \cos(\theta) \begin{pmatrix} 1 & -tg(\theta) \\ tg(\theta) & 1 \end{pmatrix} \begin{pmatrix} x_0 \\ y_0 \end{pmatrix} \quad (1)$$

e, usando a identidade trigonométrica

$$\cos(\theta) = \frac{1}{\sqrt{1+tg^2(\theta)}} \quad (2)$$

em (1), resulta que

$$\begin{pmatrix} x_R \\ y_R \end{pmatrix} = \frac{1}{\sqrt{1+tg^2(\theta)}} \begin{pmatrix} 1 & -tg(\theta) \\ tg(\theta) & 1 \end{pmatrix} \begin{pmatrix} x_0 \\ y_0 \end{pmatrix} \quad (3)$$

Donde a matriz de rotação $ROT(\theta)$ é definida por

$$ROT(\theta) = \frac{1}{\sqrt{1+tg^2(\theta)}} \begin{pmatrix} 1 & -tg(\theta) \\ tg(\theta) & 1 \end{pmatrix} \quad (4)$$

Contudo, a rotação de um ângulo θ pode ser realizada aplicando-se sucessivas pseudorotações parciais. Ou seja,

$$\theta = \sum_{i=0}^{\infty} \theta_i = \sum_{i=0}^{\infty} d_i tg^{-1}(2^{-i}) \quad (5)$$

Onde $d_i = 1$ se a pseudorotação for à esquerda e $d_i = -1$ se for à direita. Consequentemente, a matriz de rotação é reescrita como,

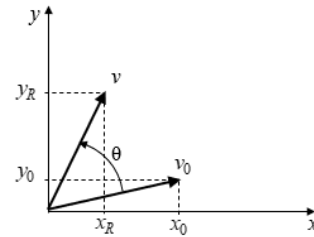


Fig. 1. Rotação vetorial por um ângulo θ

$$\text{ROT}(\theta) = \prod_{i=0}^{\infty} \frac{1}{\sqrt{1+2^{-2i}}} \begin{pmatrix} 1 & d_i 2^{-i} \\ d_i 2^{-i} & 1 \end{pmatrix} = \prod_{i=0}^{\infty} \text{ROT}(\theta_i) \quad (6)$$

B. Rotação Máxima e Resíduo Máximo

O ângulo de rotação, dado por (5), possui um valor máximo θ_{\max} para aplicação das pseudorotações. Esse valor máximo pode ser estimado considerando-se apenas pseudorotações à esquerda, $d_i = 1$. Assim, reescrevendo-se (5) na forma de dois somatórios tem-se:

$$\theta_{\max} = \sum_{i=0}^4 \text{tg}^{-1}(2^{-i}) + \sum_{i=5}^{\infty} 2^{-i} \quad (7)$$

E como o segundo somatório, em (7), é a soma de todos os elementos de uma progressão geométrica, o ângulo de rotação máximo será

$$\theta_{\max} = \text{tg}^{-1}(1) + \text{tg}^{-1}(0,5) + \text{tg}^{-1}(0,25) + \text{tg}^{-1}(0,125) + \text{tg}^{-1}(0,0625) + 2^{-4} = 1,7433(\text{rd}) \quad (8)$$

Ou, em graus, $\theta_{\max} = 99,88(^{\circ})$. Agora, no caso de (5) ser truncada em $i = (n-1)$,

$$\theta_{n-1} = \sum_{i=0}^{n-1} d_i \text{tg}^{-1}(2^{-i}) + \lim_{j \rightarrow \infty} \frac{2^{-n}(2^{-j}-1)}{(2^{-1}-1)} \quad (9)$$

e o resíduo máximo R_{\max} será

$$R_{\max} = 2^{-n+1} \quad (10)$$

C. Modos de Operação e Modelamento do CORDIC

A Fig. 2(a) mostra o modo de operação por rotação e na Fig. 2(b) tem-se o modo de operação por vetorização. O CORDIC é modelado com três caminhos de dados (x , y e z). O caminho x é utilizado para denotar a componente real de um valor complexo, y para a componente imaginária, e z para o ângulo de rotação. Já no modo de rotação, Fig. 2(a) o objetivo é zerar a componente z após um número de rotações, garantindo que o vetor de entrada v_0 seja rotacionado em um dado ângulo θ , já no modo de vetorização, Fig. 2(b), a

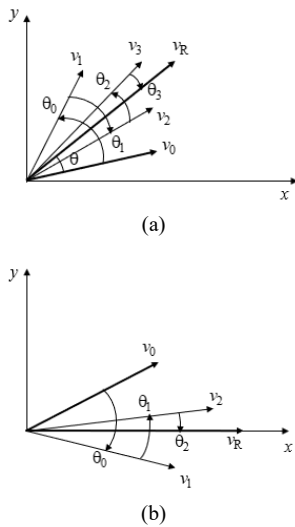


Fig. 2. Modos de operação CORDIC: (a) rotação e (b) vetorização

abordagem busca minimizar o valor de y para zero, resultando no vetor final $v_R = (x_R, 0)$.

O modelamento é realizado conforme a trajetória executada durante a rotação. Na Fig. 3 tem-se as ilustrações dos três modos típicos (a) linear, (b) circular e (c) hiperbólico.

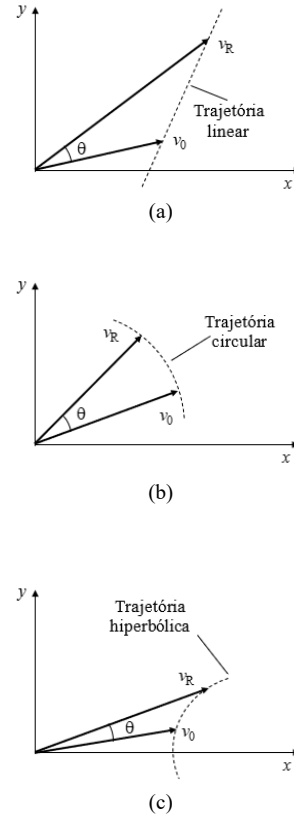


Fig. 3. Modos de modelamento: (a) linear, (b) circular e (c) hiperbólico

D. Fator de Escala

No caso de *modelamento circular* o *fator de escala* é definido como sendo o produtório

$$K = \prod_{i=0}^n \sqrt{1+2^{-2i}} \quad (11)$$

Onde a quantidade de iterações é $(n+1)$. Enquanto que no *modelamento hiperbólico*, esse *fator de escala* é definido pelo produtório

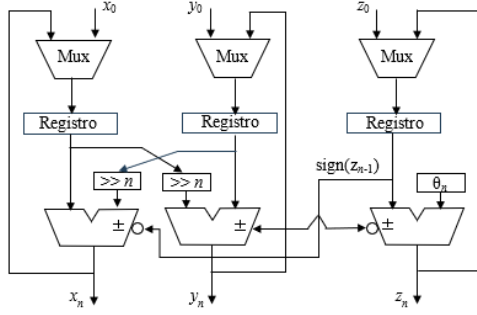
$$K' = \prod_{i=1}^n \sqrt{1-2^{-2i}} \quad (12)$$

Onde n é a quantidade de iterações.

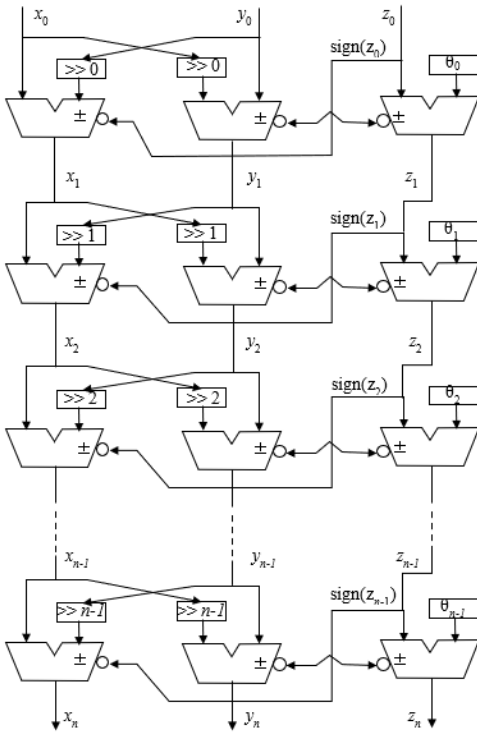
III. ALGORITMO CORDIC UNIVERSAL

O algoritmo CORDIC desenvolvido é universal pois possibilita operações nos modos rotação e vetorização, usando modelamento circular, linear e hiperbólico, implementados nas arquiteturas serial, Fig. 4(a), e paralela, Fig. 4(b). Portanto, ele oferece recursos para implementação de várias funções matemáticas. O algoritmo realiza uma sequência de pseudorotações parciais utilizando apenas operações de soma e deslocamentos de bit, combinadas com operações de consulta, ou sejam, pesquisas em tabelas LUT (do inglês, Look-Up Table). Neste algoritmo foram realizadas as

correções de *ganho* e vários testes a fim de validar o funcionamento correto do algoritmo. O algoritmo foi implementado em Verilog e seus resultados foram validados pelo software Python. No algoritmo foram definidos uma quantidade de iterações de 16 e o padrão de dados Q16.16 sinalizados para a entrada e saída. Também foi verificado e adotado um *erro* da ordem de $10E-3$ [4].



(a)



(b)

Fig. 4. Arquiteturas implementadas: (a) série e (b) paralela

A. Equações Generalizadas

As equações básicas do CORDIC foram reformuladas de maneira generalizada e unificada, adequando-as para o cálculo das pseudorotações nos sistemas de coordenada circular, hiperbólico e linear. São introduzidas três novas variáveis m , $\lambda(n)$ e $W_{\lambda(n)}$. As equações generalizadas são as seguintes:

$$x_{n+1} = x_n - m d_n y_n 2^{-\lambda(n)} \quad (13)$$

$$y_{n+1} = y_n + d_n x_n 2^{-\lambda(n)} \quad (14)$$

$$z_{n+1} = z_n - d_n W_{\lambda(n)} \quad (15)$$

Onde os valores das variáveis m e $\lambda(n)$ com os possíveis modos são descritos na Tabela I e as funções computáveis pelo CORDIC para cada modo de operação e para cada sistema de coordenadas, são resumidos na Tabela II.

TABELA I. VALORES POSSÍVEIS DAS VARIÁVEIS m e $\lambda(n)$

m	tipo	$\lambda(n)$
1	circular	n
-1	hiperbólico	$n - j$, j é o maior valor tal que, $3^{j+1} + 2j - 1 \leq 2n$
0	linear	n

TABELA II. FUNÇÕES COMPUTÁVEIS PELO CORDIC

Tipo	m	W_n	Rotacão $d_n = \text{sign}(z_n)$	Vetorizacão $d_n = \text{sign}(-y_n)$
C	1	$tg^{-1}(2^{-n})$	$x_n \rightarrow K(x_0 \cos z_0 - y_0 \sin z_0)$ $y_n \rightarrow K(x_0 \sin z_0 + y_0 \cos z_0)$ $z_n \rightarrow 0$	$x_n \rightarrow K\sqrt{x_0^2 + y_0^2}$ $y_n \rightarrow 0$ $z_n \rightarrow z_0 + tg^{-1}(y_0 / x_0)$
H	-1	$tgh^{-1}(2^{-n})$	$x_n \rightarrow K'(x_1 \cosh z_1 + y_1 \sinh z_1)$ $y_n \rightarrow K'(x_1 \sinh z_1 + y_1 \cosh z_1)$ $z_n \rightarrow 0$	$x_n \rightarrow K'\sqrt{x_1^2 - y_1^2}$ $y_n \rightarrow 0$ $z_n \rightarrow z_1 + tgh^{-1}(y_1 / x_1)$
L	0	2^{-n}	$x_n \rightarrow x_0$ $y_n \rightarrow y_0 + x_0 z_0$ $z_n \rightarrow 0$	$x_n \rightarrow x_0$ $y_n \rightarrow 0$ $z_n \rightarrow z_0 + (y_0 / x_0)$

C - Circular; H - Hiperbólico; L - Linear

B. Operações Matemáticas Implementadas

A Tabela III mostra as operações realizadas e as entradas (x_{in} , y_{in} e z_{in}) e saídas (x_{out} , y_{out} e z_{out}) do algoritmo CORDIC universal. As operações matemáticas computadas são identificadas na tabela por: (a) seno e cosseno; (b) arco tangente e módulo; (c) multiplicação; (d) divisão; (e) seno e cosseno hiperbólicos; (f) arco tangente e módulo hiperbólicos.

TABELA III. OPERAÇÕES MATEMÁTICAS IMPLEMENTADAS

Item	x_{in}	y_{in}	z_{in}	x_{out}	y_{out} ou z_{out}
(a)	$1/K$	0	θ	$\cos(\theta)$	$y_{out} \rightarrow \sin(\theta)$
(b)	x_{in}	y_{in}	0	$K\sqrt{x_{in}^2 + y_{in}^2}$	$z_{out} \rightarrow tg^{-1}(y_{in} / x_{in})$
(c)	x_{in}	0	θ	x_{in}	$y_{out} \rightarrow x_{in} \cdot z_{in}$
(d)	x_{in}	y_{in}	0	x_{in}	$z_{out} \rightarrow y_{in} / z_{in}$
(e)	$1/K'$	0	θ	$\cosh(\theta)$	$y_{out} \rightarrow \sinh(\theta)$
(f)	x_{in}	y_{in}	0	$K'\sqrt{x_{in}^2 - y_{in}^2}$	$z_{out} \rightarrow tgh^{-1}(y_{in} / x_{in})$

IV. RESULTADOS E DISCUSSÕES

As Fig. 4-7 mostram os resultados obtidos das operações de *multiplicação*, *seno*, *seno* e *cosseno hiperbólicos*. As simulações foram realizadas em Verilog. A operação de multiplicação, Fig. 5, mostra que o algoritmo CORDIC serial apresenta erros inferiores a $10E-2$. Enquanto que nos cálculos operação seno, Fig. 6, o CORDIC paralelo apresentou erros menores, ou seja, inferiores a $10E-3$.

A Fig. 7 e Fig. 8 mostram os resultados obtidos para o seno e cosseno hiperbólicos, para um ângulo de 40 graus. Nota-se que o CORDIC paralelo é 23 vezes mais rápido que o CORDIC serial.

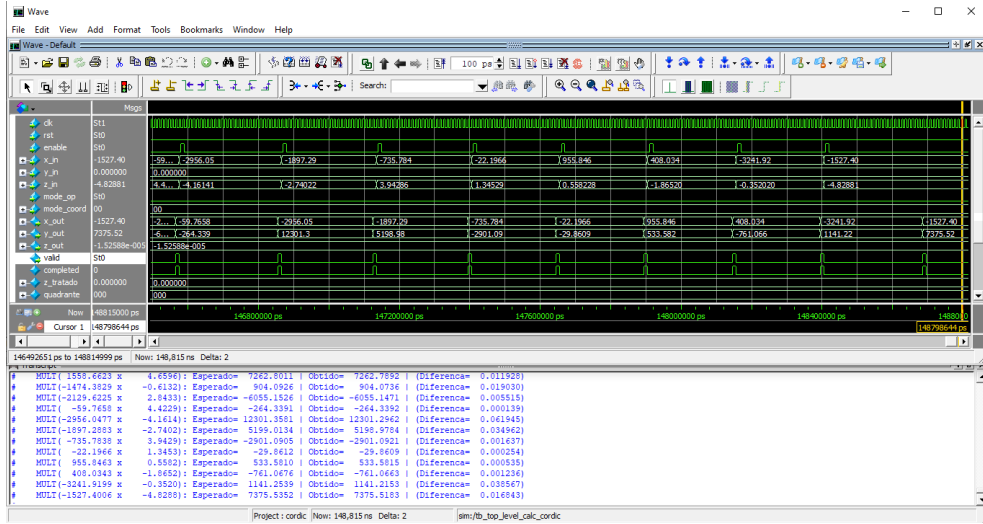


Fig. 5. Implementação em Verilog da operação de *multiplicação* realizada pelo algoritmo CORDIC na arquitetura serial

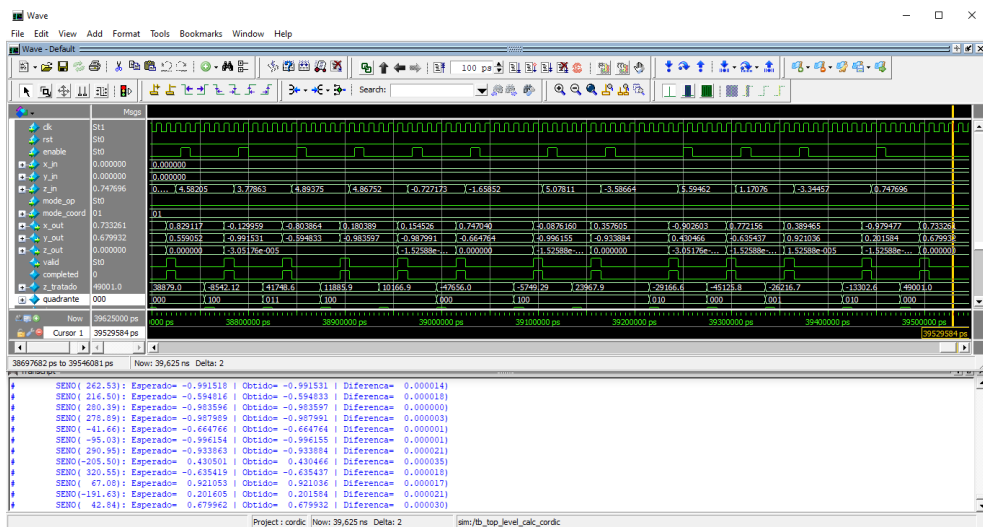


Fig. 6. Implementação em Verilog da operação *seno* realizada pelo algoritmo CORDIC na arquitetura paralela

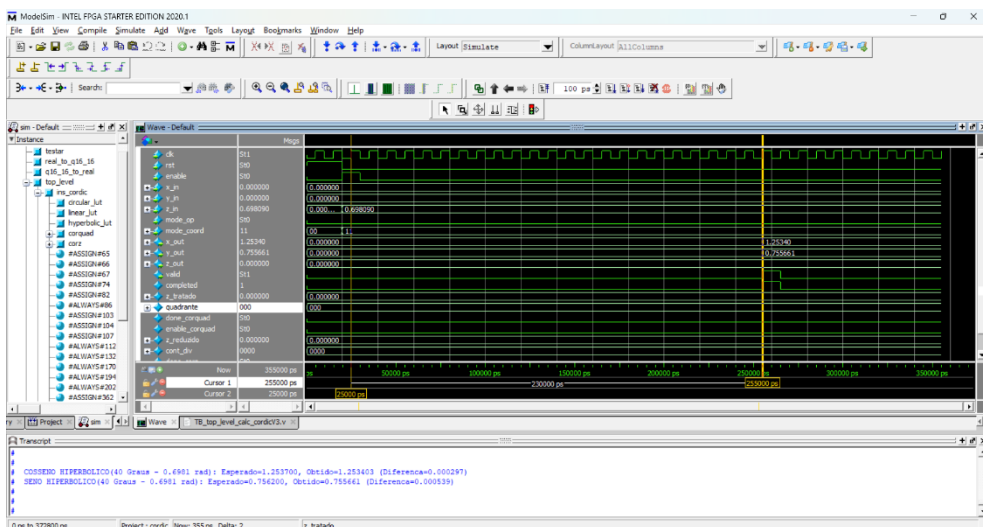


Fig. 7. Implementação em Verilog da operação de *senh(40°)* e *cosh(40°)* realizada pelo algoritmo CORDIC na arquitetura serial

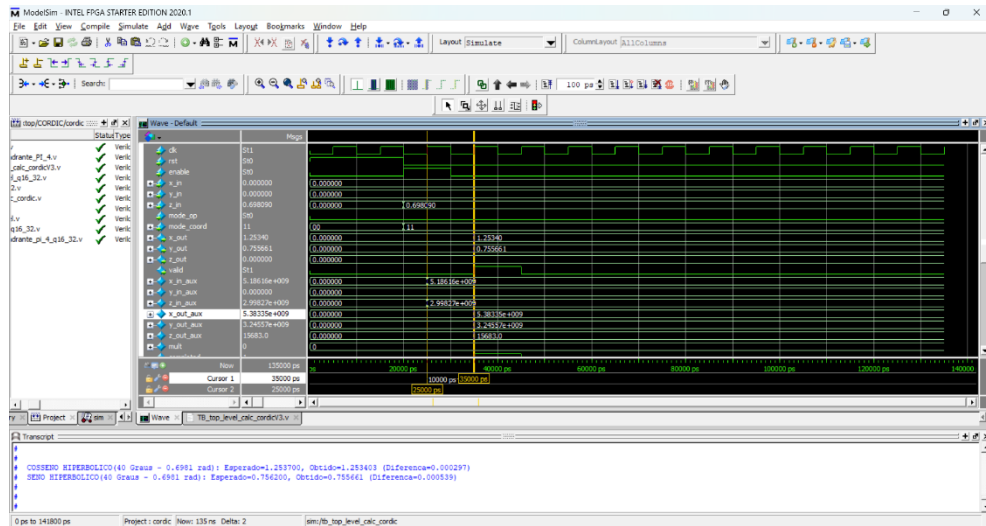


Fig. 8. Implementação em Verilog da operação de $\sinh(40^\circ)$ e $\cosh(40^\circ)$ realizada pelo algoritmo CORDIC na arquitetura paralela

V. CONCLUSÕES

O algoritmo CORDIC universal possibilitou operações nos modos rotação e vetorização, usando modelamento circular, linear e hiperbólico. O CORDIC serial e o paralelo apresentaram praticamente mesmos resultados nos cálculos, porém, o serial apresenta uma latência bem maior. A boa precisão dos cálculos mostrou a eficiência do algoritmo. Com relação a trabalhos futuros, o CORDIC universal tem potencial para: “desenvolvimento de uma ALU para coprocessador trigonométrico”.

AGRADECIMENTOS

Os autores são gratos à SOFTEX pelo suporte financeiro e a todos os servidores do INATEL que contribuíram de forma direta ou indireta para o desenvolvimento deste trabalho.

REFERÊNCIAS

- [1] P. K. Meher, J. Valls, T.-B. Juang, K. Sridharan, and K. Maharatna, “50 ears of cordic: Algorithms, architectures, and applications,” *IEEE Transactions on Circuits and Systems I: Regular Papers*, vol. 56, no. 9, pp. 1893–1907, 2009.
- [2] J.E. Volder, “The CORDIC Trigonometric Computing Technique.” *IRE Trans. Comput.*, Vol. EC-8, 1959, pp. 330-334.
- [3] J.S. Walther, “A Unified Algorithm for Elementary Functions.” *AFIPS Spring Joint Comput. Conf.*, 1971, pp. 379-385.
- [4] L. R. Pires, (2025) “CORDIC” (1.0)
<https://github.com/luizrp/CORDIC>